

複列衝立構造物による人工湧昇流

大竹 臣哉*・糸瀬 長敬**・中村 充***

1. はしがき

いわゆる 200 海里の定着と水産資源の供給の必要性から沿岸域の漁場整備が盛んに行われている。海外からも、沿岸域開発の環境保全対策技術としてわが国の漁場造成技術が注目されている。この漁場造成技術の一つとして、湧昇流発生海域の高い生産性に着目して、人工湧昇流発生構造物の開発が最近多くみられる。筆者の一人も人工湧昇流の発生方法として海底に設置した複列衝立型構造物を提案してきた。

これらの構造物による湧昇流の発生機構については、主として流れの可視化実験から理解が深められてきた。例えば緒方ら (1991) は大規模カルマン渦の発生に起因するとし、鈴木 (1992) は 3 次元性渦の発生に、また池田ら (1992), 浅枝ら (1990) は河川に見られる馬蹄形渦の誘導速度に起因するとしている。しかし、これらの研究は発生機構の理論的解析、湧昇流量の定量化には十分な議論が進んでいない。

そこで本研究では、一様流中に設置された複列衝立型構造物による、湧昇流の発生機構と発生流量について定

量的な解析を理論と実験で行った。

2. 実験方法

実験用いた水槽を図-1 に示す。用いた衝立構造物は高さ D 、幅 B ($2D$) の単純な長方形で、これを 2 枚上下流間に設置した。実験条件は、構造物の幅 B 、高さ D 、水深 h 、間隔 L 、および流速 U の 5 条件とした。

実験は、上流側構造物上端に塗布した染料の拡散によって流れを可視化し、染料が下流側構造物を越える際に間欠的に見られる上昇流を VTR、カメラで撮影し、発生周期、上昇高さを測定した。

実験条件、結果を表-1 に示す。

3. 実験による現象の考察

図-2 に可視化された湧昇流の発生写真を示す。染料による流れの可視化から衝立構造物による湧昇流の発生は、以下のような現象として考えることができた。

図-3 は、構造物前・後流域の状況を模式的に表した。

- ① 上流側構造物前面に境界層が発達し、剝離時に渦管が形成される。
- ② 上流側構造物によって形成される反流後流域は、①の渦管列による閉曲面を構成する。
- ③ 渦管列の発達流下で後流域内の水は吸い出され、後流域は圧力低下が生じる。
- ④ この圧力低下がある大きさになると、後流域閉曲面は上流側構造物直後で破れ、低下圧力は回復し、後流

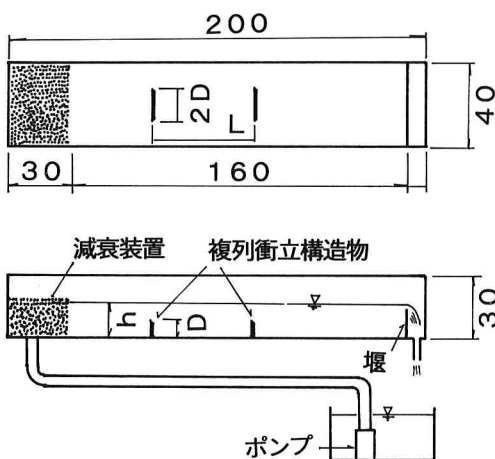


図-1 実験装置 (単位 cm)

* 正会員 福井県立大学助手 海洋生物資源学科

** 正会員 農博 東京水産大学助教授 海洋生産学科

*** 正会員 農博 福井県立大学教授 海洋生物資源学科

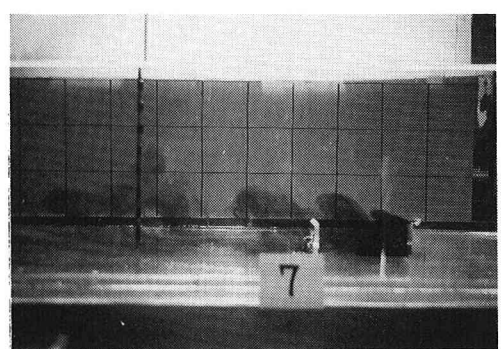


図-2 湧昇流の発生状況 (流れは右から左)

表一 実験条件と実験結果

実験 NO.	流速 U_0 cm/s	流速 U_f^*	構造物高さ D cm	水深 h cm	構造物間隔 L cm	実験結果	
						湧昇高さ H cm	周期 T_s
1	1.1	1.37	3	15	9	5.5	14.1
2	1.1	1.65	5	15	15	9.0	15.3
3	1.1	2.2	7.5	15	22.5	12.5	13.9
4	1.4	1.75	3	15	9	7.0	7.9
5	1.4	2.1	5	15	15	9.5	9.6
6	1.4	2.8	7.5	15	22.5	14.0	10.1
7	2.0	2.5	3	15	9	7.0	5.5
8	2.0	3.0	5	15	15	14.0	6.9
9	2.0	4.0	7.5	15	22.5	14.0	6.3
10	2.4	3.45	3	10	9	8.0	4.4
11	2.7	3.86	3	10	9	8.5	4.1
12	2.9	4.15	3	10	9	10.0	4.6
13	1.4	2.1	5	15	10	9.0	13.1
14	1.4	2.1	5	15	20	10.0	8.8
15	1.4	2.1	5	15	25	11.0	10.6
16	2.0	3.0	5	15	10	14.0	3.7
17	2.0	3.0	5	15	20	14.0	7.3
18	2.0	3.0	5	15	25	14.0	7.1
19	2.0	2.5	3	15	6	7.0	5.2
20	2.0	2.5	3	15	12	8.0	5.7
21	2.0	2.5	3	15	15	8.0	6.5

* : 平均流速 U_0 中の衝立付近の接近速度 $U_i = U_0 h / (h - D)$

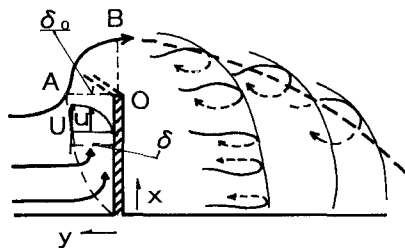


図-3 構造物前・後域の流れの模式図

域反流は順流に変わり、このとき湧昇流が発生する。

⑤ この順流が下流側構造物に当たって湧昇流が増幅される。

⑥ 衝立板が水槽全幅にわたる2次元実験ではこの現象はほとんど起こらない。

⑦ 2次元実験では渦管径の発達は、3次元実験に比較して十分小さい。

図-2は⑤の状態であり、次の湧昇流となる上流側構造物によって発生した渦管列が構造物の間で見られる。

4. 理論的検討

以上の現象考察を基に理論的検討を行う。

(1) 渦管の性質

⑦の現象で3次元渦管は、渦端が底面に接したz軸の渦端であり、2次元渦管は端部が側壁に接する渦管である。重力軸(z軸)の渦では底層境界層から渦管への流入が起こり、渦径は増大する。(糸沢ら、1992)水平軸の渦では側壁に生じる境界層は単なる摩擦抵抗のみで、この

ような現象は起こらない。これが⑦の現象を生じている原因であると考えられる。

渦径 a が da だけ増大した場合の流れ場のエネルギーの変化 dE を検討する。

渦径 a の円周上の循環定数を Γ とし、 πa^2 内の渦度を 2ω (ω : 渦内の回転速度) とすると、

$$\omega = \Gamma / (2\pi a^2)$$

渦の半径 r における回転周速度 v は、
 $r \leq a$ のとき

$$v = r\omega = \Gamma r / (2\pi a^2) \quad \dots \dots \dots (1)$$

$r > a$ のとき

$$v = \Gamma / (2\pi r) \quad \dots \dots \dots (2)$$

渦による全エネルギー E は

$$E = \rho \int_0^\infty 2\pi r l v^2 / 2 dr \quad \dots \dots \dots (3)$$

ここに、 ρ : 水の密度、 l : 渦管長の1/2である。

よって、

$$dE = \pi l \rho \left(\left[\int_0^{a+da} + \int_{a+da}^\infty - \int_0^a - \int_a^\infty \right] rv^2 dr \right) \\ = -\frac{\rho l H^2}{4\pi a} da \quad \dots \dots \dots (4)$$

ここに、[] は演算子として記述した。

すなわち、渦径が増大することによって、エネルギーを失う。式(4)中のエネルギーは粘性逸散なし(Γ が保存)として得られる値であり、このエネルギーが底層境界層からの流れの取り込みに用いられると考えられる。渦管への取り込み流速を w とすれば、消費エネルギー dE_w は

ら、 t 時間に閉曲面内の水を吸い出す量である。
 $t = T$ で Δp が限界値 $\Delta p_c = C$ になると閉曲面は破れるから、

$$\therefore T = \frac{VC}{\beta_1 wa^2}$$

この式に式(9)～(15)を代入して

ここに, β_1 , β ; 比例定数である.

5. 実験による理論の検証

表-1に示す実験結果を理論式にしたがって整理する。湧昇に用いられるエネルギーは後流域圧力低下エネルギーが後流域閉曲面の破れによって解放されるエネルギーに比例する、として得られた式(18)の関係の実験値を図-4に示す。実験値にややばらつきがあるが、ほぼ式(18)の関係を満足している。図中の直線は、単純比例するとして45°の勾配線となっている。

この図から式(18)の係数 α は、 4.3×10^{-4} であり

$$\frac{\Delta h}{H} = 4.3 \times 10^{-4} \frac{H^2}{D \cdot L} \quad \dots \dots \dots \quad (22)$$

を得る。

$\alpha = 4.3 \times 10^{-4}$ として式(19)は、

$$H = 13.2(\Delta h D L)^{1/3} \quad \dots \dots \dots \quad (23)$$

式(20)は、

であり、これらの式と実験値を比較したものが、図-5、図-6であり、これらの関係式はよく実験値と一致していることがわかる。

したがって、湧昇高さ H は、式(24)から求めることができる。

湧昇流発生周期 T は、式(21)で整理する。結果は図 7 である。ばらつきはあるもののほぼ式(21)の傾向を示す。

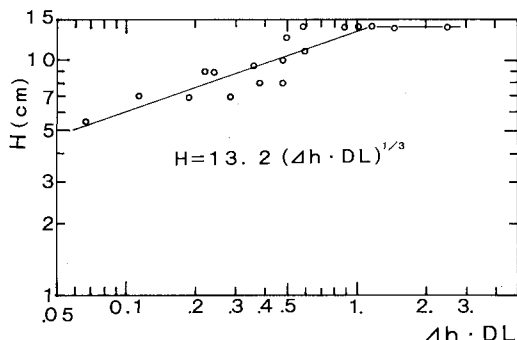


図-5 湧昇流高さの理論値と実験値

しており、これから係数 β を求めれば、式(21)は式(25)を得る。

$$T = 0.7 \frac{BL}{DU} \quad \dots \dots \dots \quad (25)$$

6. おわりに

本研究は、一様流中に設置された複列型の衝立板によって発生する湧昇流について、その発生機構を考察し、現象の定量化を試みたものである。可視化の実験から3章で述べた①～⑦のように現象を理解し、湧昇高さ H 、間欠的湧昇周期 T を定式化した。

定式化の過程で、湧昇高さ H は、湧昇に要するエネルギーが後流域に蓄えられた圧力低下エネルギーに比例するとして式(18)を導いたが、図-4における実験値では1次の比例関係よりややずれている。

周期 T も後流域閉曲面内の圧力低下は渦管による吸い出し量に比例し、後流域容積に反比例するとして式(21)

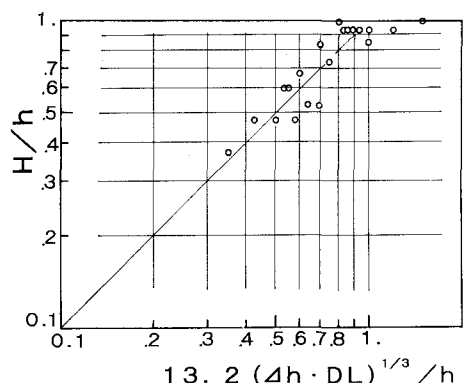


図-6 無次元湧昇高さの理論と実験値の比較

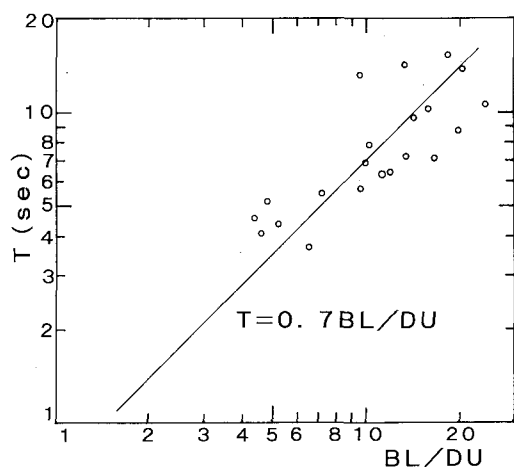


図-7 湧昇流発生周期の理論値と実験値

を導いたが、図-7に示す実験値の傾向は、やはり1次の比例反比例の関係からややずれている。今後さらに現象を詳細に考察し、理論精度をあげる必要がある。また、比例定数を実験から定めたが、この理論的導出も必要である。さらに、本実験では淀み点から剥離点までの境界層長さを一様とするために板幅 B を高さの2倍としたが、一般化のためには、任意の板幅についても検証する必要がある。

参考文献

- 浅枝 隆・中井正則・玉井信行・堀川清司 (1990): V字型構造物による上昇流, 土木学会論文集, 423 (II-14), pp. 83-90.
- 緒方源信・長井利彰・山田賢司・桝田 剛 (1991): 人工湧昇流発生装置に関する研究—人工構造物の設計について—, 西部造船会会報, 82, pp. 141-154.
- 瀬戸雅文・糸沢長敬・中村 充・田北博司 (1991): 平板の背後に形成される後流域より発生する質量力, 海岸工学論文集, 第38巻, pp. 666-670.
- 池田俊介・武若 聰・二瓶泰雄・秋山信義 (1992): 各種構造物による湧昇流の発生に関する実験的研究, 海岸工学論文集, 第39巻, pp. 896-900.
- 糸沢長敬・向井雅志・瀬戸雅文・中村 充・大竹臣哉 (1992): 岬を回る流れにおける海水混合に関する研究, 平成4年度日本水産工学会学術講演会講演論文集, pp. 85-86.
- 鈴木達雄 (1992): 3次元物体背後の湧昇渦に関する研究, 水産工学, 29巻, 1号, pp. 23-30.